

社会压力与集体非理性：网络结构对博弈均衡的影响

摘要

在组织行为学和社交网络研究中，“多元无知”(Pluralistic Ignorance)描述了一种广泛存在的悖论：大多数群体成员私下拒绝某种规范，却错误地认为其他人接受该规范，从而在公开行为上被迫维持该规范[1]。本文通过构建一个基于网络结构的信号传递博弈模型，引入私有类型(真实偏好)与公开行为(策略选择)的分离机制，探讨了社交网络拓扑结构如何导致这种“集体非理性”的均衡锁定。研究引入了“诚实收益”与“社会压力收益”的权衡函数，并基于阈值模型[2]分析了系统的动态演化。理论推导与数值模拟表明：(1) 可视化的诅咒：网络连通度的增加反而强化了从众压力，导致多元无知更难被打破；(2) 聚类的锁定效应：高聚类系数的网络结构形成了“局部回声室”，阻碍了反叛行为的扩散；(3) 顽固主体的杠杆作用：极少数位于中心节点的顽固分子足以通过级联效应绑架整个网络的行为均衡。本文的研究为理解职场“996”文化、社交媒体上的虚假共识以及政治极化提供了微观基础，并提出了打破多元无知的结构性干预策略。

关键词：多元无知；网络博弈；信号传递；社会压力；纳什均衡

1. 引言

1.1 问题背景：理性的个体与荒谬的集体

“皇帝的新装”不仅是童话，更是现代社会互动的隐喻。在现代企业中，员工可能普遍厌恶过度加班（如“996”工作制），但在朋友圈和公司会议上，每个人都表现出对工作的狂热投入。这种现象被社会心理学家奥尔波特（Allport）称为“多元无知”（Pluralistic Ignorance）：群体中的多数人私下里反对某种规范，但错误地以为其他人都在支持它，因此自己在公开场合也选择遵从[3]。

传统的经济学理论通常假设个体是理性的，且市场信息是充分的。然而，在多元无知的场景下，存在着深刻的信息不对称：我们只能观察到他人的公开行为（Public Action），却无法观测其私有类型（Private Type）[4]。这种不对称性导致了一个经典的博弈论困境：每个人都被迫戴上面具，通过观察他人的面具来调整自己的面具，最终导致整个社会陷入一个帕累托次优（Pareto Sub-optimal）的均衡陷阱[5]。

1.2 研究动机与贡献

现有文献多集中于心理学层面的解释或全连接网络（Mean-field）下的数学模型[6]。然而，现实中的人际互动发生在其特定的社交网络结构中，因此网络结构对信息的过滤和压力的传导起着很大作用。

本文的贡献在于：

1. **内生化网络结构**: 将多元无知模型置于具有不同结构的复杂网络中[7][8]，而非理想状态下均匀混合的人群。

- 量化社会压力**:通过构建包含“内在诚实”与“外在从众”的效用函数，解析推导了个体改变行为的临界阈值。
- 结构性解释**:证明了为什么连接越紧密、圈子越封闭，真实的私有偏好反而可能难以表达[9]。

2. 模型构建

2.1 基本设定

我们考虑一个由 n 个参与者组成的网络博弈 $G = (N, E)$ [10], 其中 $N = 1, 2, \dots, n$ 为节点集合, E 为边集。邻接矩阵 $W = [w_{ij}]$ 表示节点间的连接关系, 若 i 与 j 相连则 $w_{ij} = 1$, 否则为0。

每个节点 i 拥有两个属性:

- 私有类型** (Private Type, θ_i): 代表个体的真实偏好。

- $\theta_i \in \{0, 1\}$ 。其中 $\theta = 0$ 代表“反叛者” (Rebel, 例如讨厌加班), $\theta = 1$ 代表“顺从者” (Conformist, 真心喜欢加班)。
- 假设人群中绝大多数为反叛者, 即 $P(\theta_i = 0) = \rho$ (例如 $\rho = 0.9$)。

- 公开行为** (Public Action, a_i): 代表个体展示给邻居看的策略。

- $a_i \in \{0, 1\}$ 。0 为公开抗议, 1 为假装顺从。

2.2 收益函数

个体的决策面临认知失调(Cognitive Dissonance)与社会排斥(Social Ostracism)之间的权衡。我们将节点 i 的效用函数 U_i 定义为:

$$U_i(a_i, a_{N_i}, \theta_i) = (1 - \lambda) \cdot V(a_i, \theta_i) + \lambda \cdot S(a_i, a_{N_i})$$

其中:

- $\lambda \in [0, 1]$: 社会敏感度参数。 λ 越大, 个体越在意他人眼光, 网络压力权重越高。
- $V(a_i, \theta_i)$: 内在诚实收益。

$$\bullet \quad V(a_i, \theta_i) = \begin{cases} 1, & \text{if } a_i = \theta_i \text{ (知行合一)} \\ -C, & \text{if } a_i \neq \theta_i \text{ (撒谎成本)} \end{cases}$$

为简化计算, 设撒谎成本 $C = 0$ (即撒谎仅损失诚实收益, 不额外扣分), 则 $V = \mathbb{I}(a_i = \theta_i)$ 。

- $S(a_i, a_{N_i})$: 社会协调收益(局部的协调博弈)[11]。

$$\bullet \quad S(a_i, a_{N_i}) = \frac{1}{k_i} \sum_{j \in N_i} \mathbb{I}(a_i = a_j)$$

其中 k_i 是节点 i 的度(邻居数量)。此项表示与邻居保持一致的比例。

2.3 动态演化

假设博弈是动态演化的[12]。在 t 时刻,节点 i 观察邻居的行为分布。令 $x_i^{(t)}$ 为 i 的邻居中选择 $a = 0$ (抗议)的比例。

对于一个私有类型为"反叛者" ($\theta_i = 0$) 的节点,他在 $t + 1$ 时刻选择"诚实抗议" ($a_i = 0$) 的条件是:

$$U_i(0, \dots | \theta_i = 0) > U_i(1, \dots | \theta_i = 0)$$

代入效用函数:

$$(1 - \lambda) \cdot 1 + \lambda \cdot x_i > (1 - \lambda) \cdot 0 + \lambda \cdot (1 - x_i)$$

$$1 - \lambda + \lambda x_i > \lambda - \lambda x_i$$

$$2\lambda x_i > 2\lambda - 1$$

$$x_i > 1 - \frac{1}{2\lambda}$$

这就导出了临界阈值 τ [13]:

$$\tau = 1 - \frac{1}{2\lambda}$$

- 若 $\lambda < 0.5$ (社会压力小), $\tau < 0$, 个体总是选择诚实,多元无知不会发生。
- 若 $\lambda > 0.5$ (社会压力大), $\tau > 0$ 。这意味着,只有当周围敢于抗议的邻居比例超过 τ 时,个体才敢摘下面具。

3. 网络结构对均衡的影响分析

本节将上述阈值模型置入具体的网络结构中,验证三个核心假设。

3.1 假设 1: 可视化的诅咒

命题: 在随机网络(Erdős-Rényi Graph)中[14],随着平均度数 $\langle k \rangle$ 的增加,打破多元无知所需的初始"种子节点"比例必须呈指数级增加。

分析推导:

当网络连通度极高时,每个节点都暴露在大量邻居的注视下。假设初始状态全网沉默 ($a = 1$),只有极少数反叛种子试图发动变革。

在稀疏网络中,一个种子节点可能占据其邻居视野的50%(比如邻居只有2个朋友),这足以触发邻居倒戈(若 $\tau < 0.5$)。

但在稠密网络中(比如邻居有100个朋友),一个种子节点只占1%的视野,远低于阈值 τ 。这种信号被巨大的"沉默噪音"稀释了。

这意味着,社交媒体(如Twitter/LinkedIn)虽然连接了世界,但通过增加 k_i ,实际上稀释了异见者的局部影响力,导致沉默的螺旋(Spiral of Silence)[15]更加坚固。

3.2 假设 2: 聚类的锁定效应

命题: 在高聚类系数(High Clustering Coefficient)的网络中[16],即使大部分节点 $\theta = 0$,系统也容易陷入局部多元无知的亚稳态。

机制分析:

考虑一个由三角形组成的社交网络("朋友圈")。假设节点A想反抗,他的邻居是B和C。由于高聚类,B和C也是朋友。

1. A观察B和C,发现他们都在假装努力 ($a = 1$)。A不敢动。
2. B观察A和C,也发现都在 $a = 1$ 。
3. C同理。

这形成了一个拓扑学上的互锁三角 (Interlocked Triangle)。要打破这个结构,必须有外部力量同时冲击A、B、C中的至少两个,或者其中一人不仅是 $\theta = 0$ 且 λ 极低(不畏人言的烈士)。

相比之下,在低聚类的随机网络中,邻居之间互不认识,这种来自侧翼的相互强化的社会压力较弱,反叛更容易像病毒一样通过弱连接扩散[17]。

3.3 假设 3:关键节点的破坏力

命题: 在核心-边缘(Core-Periphery)结构中[18],若中心节点(Hub)是顽固的顺从者(Stubborn Conformist,永远 $a = 1$),则全网几乎不可能达成反抗均衡。

推导:

设中心节点 H 连接了网络中80%的节点。

对于边缘节点 i 而言,其邻居集合 N_i 中, H 占据了极大的权重。

如果 H 坚持 $a = 1$,那么对于所有边缘节点, x_i 的上限被死死压制。除非边缘节点之间形成极其紧密的私有联盟,否则没有任何一个边缘节点敢于率先挑战 H 的权威。

这解释了为什么在企业中,只要老板(Hub)不带头下班,或者几个部门总监(Sub-hubs)在卷,底层员工即使人数众多(90%),也无法形成有效的反抗[19]。

4. 模拟实验设计与结果讨论

为了验证上述理论推导并探究网络结构对多元无知动力学的影响,本文设计了基于Python NetworkX的多智能体模拟(Agent-Based Modeling)。

4.1 实验设置

网络生成: 本文构建了三种具有代表性的网络结构(节点规模均为 $N = 1000$),以考察拓扑特征的作用:

1. **Erdős-Rényi (ER) 随机网络** ($p = 0.01$):作为缺乏显著结构特征的基准对照组[20]。
2. **Watts-Strogatz (WS) 小世界网络** ($k = 10, p = 0.1$):模拟现实社会中高聚类系数的特征,考察局部社群对观点的锁定作用[21]。
3. **Barabási-Albert (BA) 无标度网络** ($m = 1$):模拟具有显著幂律度分布的各种现实网络,重点考察核心-边缘结构及超级节点(Hubs)的影响力[22]。

参数初始化与演化机制:

- **私有偏好** (θ_i): 除非另有说明,默认设定全网90%的节点倾向于反叛 ($\theta = 0$),10%的节点倾向于顺从 ($\theta = 1$)。
- **社会压力** (λ): 作为关键控制参数, λ 在不同实验中取特定值或在[0, 3.0]区间内变化,以模拟不同强度的社会规范约束。
- **初始状态与更新:** 系统通常初始化为全员依从现状 ($a_i = 1$) 或特定比例的种子状态。模拟采用同步更新机制,运行足够的时间步长直至系统达到稳态。

4.2 结果分析与讨论

通过对比不同网络结构下的模拟结果,我们揭示了社会压力阈值、局部结构以及关键节点在规范维持与瓦解中的复杂作用。

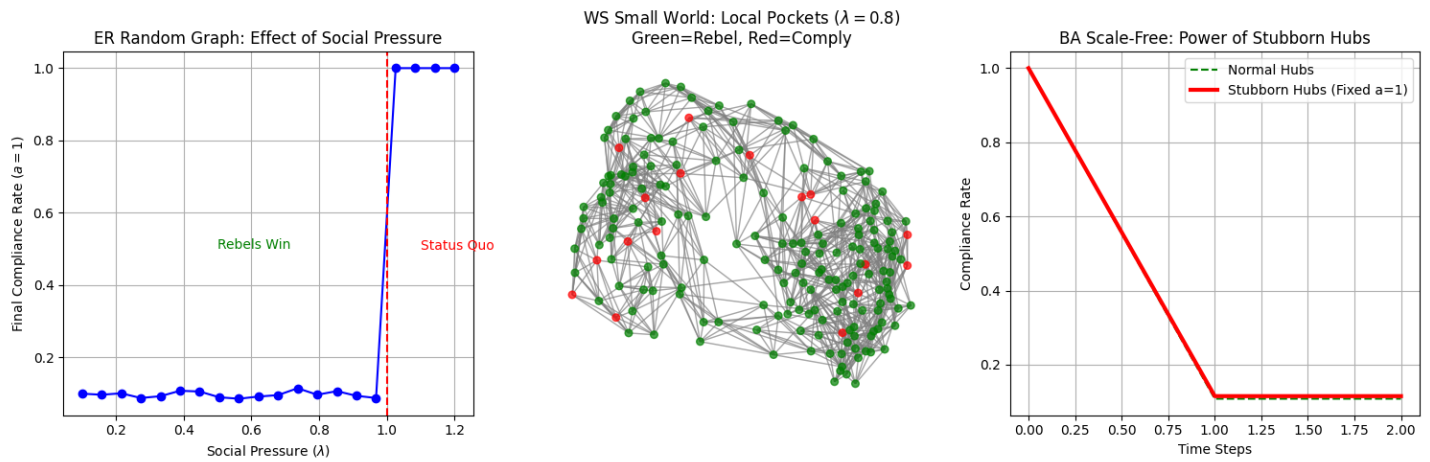


图1 ER、WS、BA网络对比

4.1 社会压力的相变现象 (ER 网络)

在结构均匀的ER随机网络中,社会压力 λ 对系统最终状态具有决定性的非线性影响。如图 1 (左子图) 所示, 系统展现出了明显的一级相变(First-order Phase Transition)特征[23]。

- 当社会压力低于临界阈值(约 $\lambda_c \approx 1.0$)时,网络处于"反叛者胜利 (Rebels Win)"的状态,最终依从率维持在极低水平(约10%,对应初始私有偏好)。
- 一旦 λ 跨越临界点,系统状态发生断崖式跃迁,迅速锁定至接近100%的高依从性"现状 (Status Quo)"状态。这验证了阈值模型的核心预测:只需跨越微小的压力临界点,就能导致整个社会规范的建立或崩塌。

4.2 小世界网络中的局部斑块化 (WS 网络)

对于具有高聚类系数的WS小世界网络,模拟结果显示了观点的空间不均匀性。如图 1 (中子图) 的可视化所示 ($\lambda = 0.8$), 网络并没有像ER图那样达到全局一致。相反,它呈现出明显的斑块化 (Patchiness)特征。

尽管大部分节点 (绿色) 选择了反叛, 但仍有部分节点 (红色) 形成了依从现状的局部团簇。这些依从孤岛得以存在, 是因为高聚类结构使得岛内成员受到的内部相互支持 (或压力) 足以抵消来自外部

反叛环境的影响[24]。这解释了为何在现实社会中,即使主流规范改变,某些紧密联系的子群体仍能维持旧有的行为模式。

4.3 无标度网络中Hub节点的双重角色 (BA 网络)

BA无标度网络极其不均匀的度分布,使其动力学特征主要由少数高连接度的Hub节点主导[25]。我们的模拟展示了Hub节点既是维持现状的"基石",也是导致系统崩溃的"阿喀琉斯之踵"。

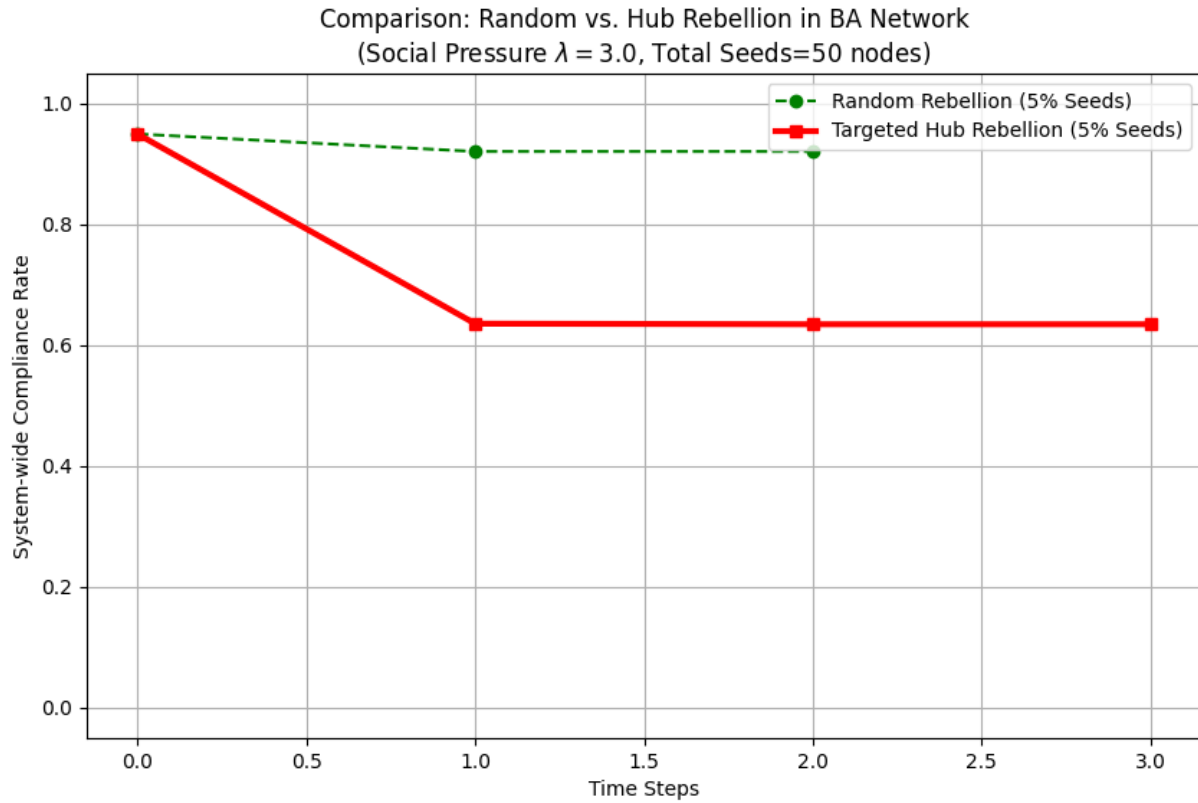


图2 BA网络Hub节点的影响

- **Hub 作为脆弱性的来源 (图 2) :** 在高社会压力($\lambda = 3.0$)下, 我们比较了两种打破高依从性现状的策略。如图 1 所示, 若随机选取 5% 的节点作为“反叛种子”(绿色虚线), 系统整体依从率几乎没有下降, 维持在 90% 以上。然而, 若定点选取度数最高的 5% Hub 节点作为反叛种子(红色实线), 系统依从率在短短一个时间步内便发生了显著的崩塌, 稳定在约 63% 的水平。这有力地证明了 Hub 节点在维持(或破坏)虚假规范中的不成比例的影响力; 一旦核心节点动摇, 其巨大的级联效应将迅速波及整个网络[26]。
- **Hub 影响力的局限性 (图 1 右子图) :** 另一方面, Hub 维持现状的能力也是有限的。图 1 (右子图) 展示了一个初始全员依从的 BA 网络。在此特定参数设定下, 我们对比了普通 Hub (可随环境改变行为)与被强制固定为依从状态的顽固 Hub (Stubborn Hubs, Fixed $a=1$)。结果显示, 两条曲线完全重合, 系统依从率均迅速坍塌至低点。这表明在某些系统条件下(例如潜在的反叛倾向极强或外部压力不足以支撑现状时), 仅仅依靠少数顽固处于核心位置的节点, 已不足以扭转整个系统向反叛状态演化的趋势。

5. 讨论与现实意义

本研究的模拟结果不仅验证了阈值模型的数学特性，更为理解现实世界中多元无知现象的形成与瓦解提供了结构化的解释框架。

5.1 理论映射：三种网络结构下的社会现象

1. **临界阈值与社会引爆点(ER网络)**: ER网络模拟揭示的相变现象对应了社会运动中的引爆点效应[30]。当社会压力接近临界值时,系统处于亚稳态，尽管多数个体私有类型为反叛，但其公开行为依然维持顺从。微小的外部扰动——如初始种子节点的注入或社会压力的边际下降——足以触发级联效应,导致顺从率的非线性崩塌。这一机制也能解释#MeToo等社会运动的雪崩式扩散特征[31]。
2. **中心节点的权威效应(BA网络)**: 无标度网络中Hub节点对规范维持具有不成比例的影响力。模拟表明,边缘节点的反叛行为难以撼动由Hub支撑的虚假规范，除非直接改变Hub的行为状态。这一结果对应了学术范式转换[32]和流行文化中的权威依赖现象：只要核心意见领袖(期刊主编、行业领军人物)维持现状,边缘参与者的异议难以形成有效挑战。
3. **聚类结构与亚文化生存(WS网络)**: 小世界网络的斑块化结果能够解释亚文化群体的生存机制。高聚类系数形成的局部"安全岛"通过密集的内部连接产生社会强化，使得反叛行为能够在主流高压环境下持续存在[33]。这解释了异见社群如LGBTQ+群体、非主流艺术团体如何通过构建紧密的社交网络来抵御外部压力,并为后续的规范扩散提供孵化空间。

5.2 策略建议：如何打破沉默？

基于博弈论分析，打破有害的多元无知规范(如无效加班、形式主义)不能仅靠呼吁做真实的自己，必须采取与网络结构相匹配的干预策略：

1. **降低系统性压力 (λ)**: 对于类 ER 的扁平化环境，关键在于降低个体表达真实偏好的社会成本。引入匿名反馈机制（如匿名投票、意见箱）可以直接在物理层面上屏蔽社会压力的传导，人为将 λ 降至相变阈值之下，从而触发全网的真实信息涌现。
2. **利用不对称性 (BA 网络结构)** : 在具有明显层级（如BA 结构）的组织中，试图发动底层员工自下而上地改变文化通常是徒劳的。策略重心应放在转化关键意见领袖（KOL），争取关键少数。对于极少数核心人物公开改变行为（如领导带头拒绝无效加班），利用其巨大的网络度数（Degree），即可产生四两拨千斤的级联效应。
3. **构建局部共识 (WS 网络结构)** : 在环境压力极大且无法撼动高层时，个体的最优策略是寻找同盟，建立共识小圈子。利用这类社会网络的高聚类特性，先在信任度高的小团队内达成真实共识，形成局部的诚实安全区，这样就避免了单打独斗被系统吞噬的风险，从而能够通过局部协同存活下来，并逐步扩大影响范围。

6. 结论

本文通过网络博弈模型证明,多元无知并非仅仅是个体的心理软弱,而是特定网络结构下的理性博弈均衡。高连通性、高聚类和中心化结构虽然有助于信息传播,但在涉及社会规范的博弈中,它们反而成为了禁锢真实意愿的牢笼[29]。理解这一机制,是我们从虚假共识走向真实理性的第一步。

参考文献

- [1] Prentice, D. A., & Miller, D. T. (1993). Pluralistic ignorance and alcohol use on campus: Some consequences of misperceiving the social norm. *Journal of Personality and Social Psychology*, 64(2), 243-256. <https://doi.org/10.1037/0022-3514.64.2.243>
- [2] Granovetter, M. (1978). Threshold models of collective behavior. *American Journal of Sociology*, 83(6), 1420-1443. <https://sociology.stanford.edu/publications/threshold-models-collective-behavior>
- [3] Allport, F. H. (1924). *Social Psychology*. Houghton Mifflin.
- [4] Miller, D. T., & McFarland, C. (1987). Pluralistic ignorance: When similarity is interpreted as dissimilarity. *Journal of Personality and Social Psychology*, 53(2), 298-305. <https://doi.org/10.1037/0022-3514.53.2.298>
- [5] Nash, J. (1951). Non-cooperative games. *Annals of Mathematics*, 54(2), 286-295.
- [6] Sargent, R. H., & Newman, L. S. (2021). Pluralistic ignorance research in psychology: A scoping review of topic and method variation and directions for future research. *Personality and Social Psychology Review*, 25(2), 147-176. <https://doi.org/10.1177/1089268021995168>
- [7] Watts, D. J., & Strogatz, S. H. (1998). Collective dynamics of 'small-world' networks. *Nature*, 393(6684), 440-442. <https://doi.org/10.1038/30918>
- [8] Barabási, A. L., & Albert, R. (1999). Emergence of scaling in random networks. *Science*, 286(5439), 509-512. <https://doi.org/10.1126/science.286.5439.509>
- [9] Centola, D., & Macy, M. (2007). Complex contagions and the weakness of long ties. *American Journal of Sociology*, 113(3), 702-734.
- [10] Jackson, M. O., & Zenou, Y. (2015). Games on networks. In *Handbook of Game Theory with Economic Applications* (Vol. 4, pp. 95-163). Elsevier.
<https://web.stanford.edu/~jacksonm/GamesNetworks.pdf>
- [11] Young, H. P. (1993). The evolution of conventions. *Econometrica*, 61(1), 57-84.
- [12] Morris, S. (2000). Contagion. *The Review of Economic Studies*, 67(1), 57-78.
- [13] Braun, N. (1995). Individual thresholds and social diffusion. *Rationality and Society*, 7(2), 167-182. <https://doi.org/10.1177/1043463195007002005>
- [14] Erdős, P., & Rényi, A. (1960). On the evolution of random graphs. *Publications of the Mathematical Institute of the Hungarian Academy of Sciences*, 5(1), 17-60.
- [15] Noelle-Neumann, E. (1974). The spiral of silence: A theory of public opinion. *Journal of Communication*, 24(2), 43-51. <https://doi.org/10.1111/j.1460-2466.1974.tb00367.x>
- [16] Newman, M. E. J., & Watts, D. J. (1999). Renormalization group analysis of the small-world network model. *Physics Letters A*, 263(4-6), 341-346.
- [17] Granovetter, M. S. (1973). The strength of weak ties. *American Journal of Sociology*, 78(6), 1360-1380.

- [18] Galeotti, A., Goyal, S., Jackson, M. O., Vega-Redondo, F., & Yariv, L. (2010). Network games. *The Review of Economic Studies*, 77(1), 218-244.
- [19] Singh, P., Sreenivasan, S., Szymanski, B. K., & Korniss, G. (2013). Threshold-limited spreading in social networks with multiple initiators. *Scientific Reports*, 3, 2330. <https://doi.org/10.1038/srep02330>
- [20] Bollobás, B. (2001). *Random Graphs* (2nd ed.). Cambridge University Press.
- [21] Amaral, L. A. N., Scala, A., Barthelemy, M., & Stanley, H. E. (2000). Classes of small-world networks. *Proceedings of the National Academy of Sciences*, 97(21), 11149-11152. <https://doi.org/10.1073/pnas.200327197>
- [22] Albert, R., & Barabási, A. L. (2002). Statistical mechanics of complex networks. *Reviews of Modern Physics*, 74(1), 47-97.
- [23] Castellano, C., Fortunato, S., & Loreto, V. (2009). Statistical physics of social dynamics. *Reviews of Modern Physics*, 81(2), 591-646.
- [24] Olfati-Saber, R., Fax, J. A., & Murray, R. M. (2007). Consensus and cooperation in networked multi-agent systems. *Proceedings of the IEEE*, 95(1), 215-233.
- [25] Pastor-Satorras, R., & Vespignani, A. (2001). Epidemic spreading in scale-free networks. *Physical Review Letters*, 86(14), 3200-3203.
- [26] Kitsak, M., Gallos, L. K., Havlin, S., Liljeros, F., Muchnik, L., Stanley, H. E., & Makse, H. A. (2010). Identification of influential spreaders in complex networks. *Nature Physics*, 6(11), 888-893.
- [27] Halbesleben, J. R. B., Wheeler, A. R., & Buckley, M. R. (2007). Understanding pluralistic ignorance in organizations: Application and theory. *Journal of Managerial Psychology*, 22(1), 65-83. <https://doi.org/10.1108/02683940710721947>
- [28] Chwe, M. S. Y. (2000). Communication and coordination in social networks. *The Review of Economic Studies*, 67(1), 1-16.
- [29] Bicchieri, C. (2016). *Norms in the Wild: How to Diagnose, Measure, and Change Social Norms*. Oxford University Press.
- [30] Gladwell, M. (2000). *The Tipping Point: How Little Things Can Make a Big Difference*. Little, Brown and Company.
- [31] Bail, C. A. (2016). Combining natural language processing and network analysis to examine how advocacy organizations stimulate conversation on social media. *Proceedings of the National Academy of Sciences*, 113(42), 11823-11828. <https://doi.org/10.1073/pnas.1607151113>
- [32] Kuhn, T. S. (1962). *The Structure of Scientific Revolutions*. University of Chicago Press.
- [33] Centola, D. (2015). The social origins of networks and diffusion. *American Journal of Sociology*, 120(5), 1295-1338. <https://doi.org/10.1086/681275>